

IRANIAN SOCIETY of
CRYSTALLOGRAPHY
and MINERALOGY

No. 2, 1386/2007 Fall & Winter

IRANIAN JOURNAL of
CRYSTALLOGRAPHY
and MINERALOGY

Application of ETM⁺ image in detecting alteration halos and discriminating lithological units in Mianeh (east- Azarbayjan)

M.J.Mohammadzadeh, R.Falahat

Faculty of Mining Engineering, Sahand University of Technology, Tabriz
Email: mj_mohammadzadeh@yahoo.com

(Received:1/5/2006, received in revised form: 17/6/2007)

Abstract: The alkaline and calc-alkaline volcanic activities in Mianeh have reactivated the hydrothermal solutions, resulting in the formation of epithermal mineralization in the region. The mineralized zone trending NW-SE, and has been affected by NE-SW bended and folded structures. The precious and base metals mineralization are confined to structurally bended zone. Landsat-7(ETM⁺) data were used to study the alteration zones, structural features and to discriminate the lithological units in the region. The primary corrections were carried out on the images and the data resampled to 15m. Based on spectral pattern of minerals present in the alteration system, such as chlorite, epidote, kaolinite, jarosite, geotite, hydrothermal alteration zones of the area were detected using band ratio and principle component analysis (PCA) techniques, which also well correlated with field studies. The linear and ring structural features along with lithological units were discriminated based on spectral features of minerals. Ultimately, the study reveals that the application of PCA resulted in enhancement of alteration halos. The field checks have confirmed the achievement and indicate the western part of the area as potentially promising zone.

Keywords: *Landsat-7(ETM⁺) image, mineral spectral pattern, hydrothermal alteration, lithological units discrimination, Mianeh region.*



کاربرد تصاویر ماهواره‌ای لندست (ETM^+) در آشکارسازی هاله‌های دگرسانی و جداسازی واحدهای سنگ‌شناسی در منطقه میانه – آذربایجان‌شرقی

محمد جعفر محمدزاده، رضا فلاحت

دانشکده مهندسی معدن، دانشگاه صنعتی سهند تبریز

پست الکترونیکی: mj_mohammadzadeh@yahoo.com

(دریافت مقاله ۱۳۸۵/۲/۱۱، دریافت نسخه نهایی ۱۳۸۶/۳/۲۷)

چکیده: فعالیتهای آتشفسانی کالک آلکالن و آلکالن موجب فعالیت دوباره آبگونهای کانی‌زا در منطقه میانه و در نتیجه کانی‌سازی و راگرمایی شده است. این زون با روند شمال‌غربی – جنوب شرقی در منطقه میانه تحت تاثیر ساختارهای شمال‌شرقی – جنوب غربی دستخوش خمیدگی می‌شود که کانی‌زانی به زون خمیشی یاد شده محدود می‌گردد. در راستای مطالعه بهینه‌های هاله‌های دگرسان و ساختارهای منطقه میانه و نیز جداسازی واحدهای سنگ‌شناسی از داده‌های سنجنده لندست ۷ (ETM^+) استفاده شد. با اعمال تصحیحات اولیه روی این تصاویر، پس از پردازش‌های لازم، قدرت تفکیک مکانی تصاویر از ۳۰ متر به ۱۵ متر افزایش داده شد. براساس الگوهای طیفی کانیهای موجود در سیستمهای دگرسان شده با دو روش نسبتهای باندی و آنالیز مولفه‌های اصلی داده‌های ماهواره‌ای مشخص شد که برآزش خوبی با مطالعات زمین‌شناسی داشتند. براساس الگوی طیفی کانیهای موجود در سنگهای مختلف، نقشه واحدهای سنگی همراه با نقشه ساختارهای خطی و حلقوی منطقه میانه با استفاده از این تصاویر ارائه شد. نتایج حاصل نشان می‌دهد، که کاربرد روش PCA به ثبت هاله‌های دگرسان گسترده‌تری انجامید. با رویکردی دوباره به نتایج حاصل، بخش غربی منطقه مورد مطالعه به عنوان منطقه‌ای مستعد و امیدوار کننده از نظر ادامه پی جوییهای معدنی معرفی شد. کنترلهای صحرایی انجام شده، نتایج به دست آمده از هر مرحله را تایید کرده است.

واژه‌های کلیدی: تصویر ماهواره‌ای لندست ۷ (ETM^+), الگوی طیفی کانیهای دگرسانیهای گرمایی، جداسازی واحدهای سنگ‌شناسی، منطقه میانه.

مقدمه

منطقه مورد بررسی، بخشی از شهرستان میانه است که مساحت آن در حدود ۶۲۵ کیلومترمربع بوده و در شمالغربی ایران یعنی جنوب شرقی استان آذربایجانشرقی قرار دارد. این گستره شامل یک ورقه توپوگرافی در مقیاس ۱:۵۰۰۰۰ است. شهر میانه با ارتفاع ۱۱۰۰ متر از سطح دریا در گوشش شمالشرقی این منطقه قرار دارد و به عنوان بزرگترین آبادی آن محسوب می‌شود. توپوگرافی منطقه در کنار رودخانه‌های قرانقوچای و شهر چای، خشن بوده ولی در مناطق دیگر تقریباً ملایم است. بیشتر رخنمونهای سنگی در کنار رودخانه‌ها و دردها قابل رویت است، ولی در مناطق دیگر با ته نشستهای عهد حاضر پوشیده شده است. منطقه میانه با دارا بودن پتانسیلهای معدنی متعدد نیاز به یک برنامه بی جویی گستره و کلاسیک دارد. هدف از این پژوهش، بررسی تصاویر ماهواره‌ای و دریافت اطلاعات موجود در آن در جهت پی جویی مواد معدنی بوده است. (که می‌توان به تلاشهای محمدزاده و فلاحت [۱]، یکتیں [۲]، سایین [۳]، گلیکسون و گریزی [۴]، آن [۵] و کروستا [۶] اشاره کرد) بنابراین اقدام به تهیه داده‌های سنجنده لندست ۷ (ETM)، و از روی آن لایه‌های متعددی (نقشه‌برداری ساختارها، دگرسانیها، و واحدهای سنگی) تهیه شدند. به دلیل پوشش گیاهی کم این منطقه، نتایج ایده‌آلی از تصاویر به دست آمد که منجر به ارائه الگوی بهینه اکتشافی براساس تصاویر ETM⁺ شد.

زمین‌شناسی و متالوژی [کانسارزایی]

منطقه مورد مطالعه بخشی از کمربند فلزایی جهانی آلب - هیمالیاست که در ایالت یا ناجبه کانسارزایی تیس و در کمربند متالوژی [کانسارزایی] ایران - قفقاز قرار گرفته است که خود دربردارنده چندین زون یا حوزه متالوژی [کانسارزایی] است که بکی از آنها زون کانسارزایی میانه - بستان آباد - مرند بوده و در این زون متالوژی [کانسارزا]، حوزه مستعد میانه قرار دارد. در این حوضه، سیستمهای ولکانو-پلوتونی متعددی به عنوان فرایند پسین ماقمایی عمل کرده و منجر به کانی‌سازیهای نشوون شده است. علاوه بر آن، در این منطقه گرادیان زمین‌گرمایی با ماقمایی‌سیم بازالتی پلیوسن بالا رفته و شرایط هیدروژنولوژی و تکتونو-ماگمایی مناسبی را برای شکل‌گیری سیستمهای گرمایی فراهم ساخته است. چنین میزانهایی مناسب کانی‌سازیهای وراگرمایی از فلزات گرانبهای و مکان مناسبی برای کانسارهای مس، سرب، روی، برو، اورانیم، توریم، و ... است [۷]. لیتلولوژی منطقه میانه بیشتر از واحدهای سنگی آتشفسانی تشکیل یافته است که سیستم آتشفسانی با شکل بیضوی را شامل می‌شود [۸]. تشکیل این سیستم با سنگهای آندزیتی شروع و در اواخر انوسن به سمت سنگهای آندزیت آنالسیم‌دار تمایل دارد [۹] در مراحل بعدی این سیستم با تشکیل ریولیت، ریوداسیت، و داسیت درمنطقه، و نفوذ سنگهای گرانودیبوریت و کوارتز مونزونیت توازن می‌شود. وجود چند مرحله فعالیتهای آتشفسانی در

زمانهای مختلف موجب پیچیدگی، گسل خوردگی، و چین خوردگی سنگهای منطقه شد، ولی رخنمونی از سنگهای نفوذی در منطقه مشاهده نمی‌شود، بلکه وجود آن در لایه‌های زیرین منطقه با داده‌های مغناطس سنجی هوای اثبات شده است [۷]. واحدهای ته نشستی جنوب منطقه شامل کنگلومرا بوده و به سمت شمال و شمال شرق بیشتر حالت ماسه سنگی و سیلیتی پیدا می‌کنند. شکل (۱) نقشه زمین‌شناسی منطقه را نشان می‌دهد که ربع نقشه زمین‌شناسی منطقه میانه در مقیاس ۱:۱۰۰۰۰۰ تهیه شده از سوی سازمان زمین‌شناسی و اکتشافاتمعدنی کشور است. و در شکل (۲) نقشه تهیه شده در این پروژه ارائه شده است.

تصحیحات هندسی

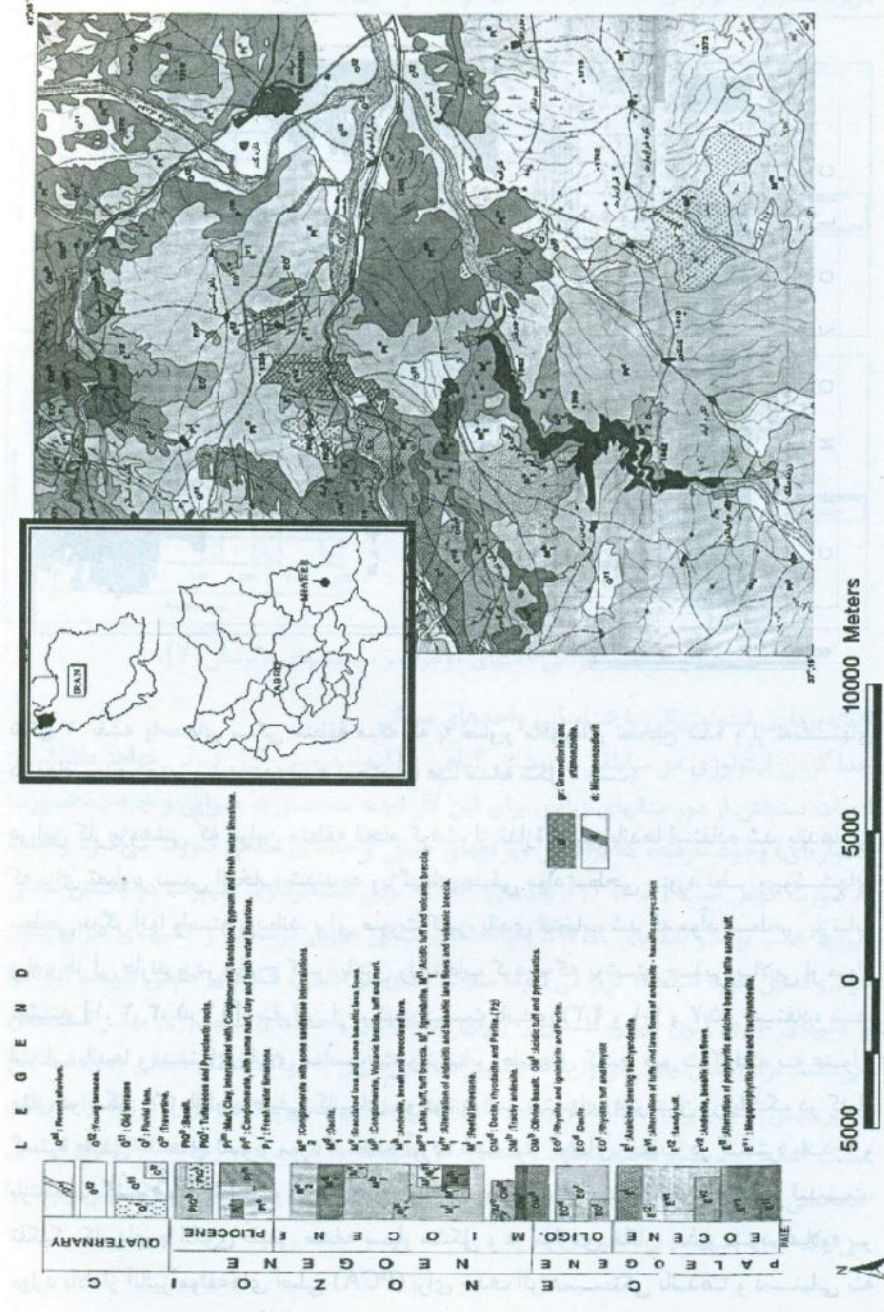
تصاویر هندسی خام معمولاً دارای چنان واپیچشهای هستند که نمی‌توانند به عنوان نقشه بکار برده شوند [۳]. بنابر این تصحیحات هندسی (که مربوط به واپیچشهای کترهای است) با استفاده از نقشه‌های پایه توپوگرافی ۱:۵۰۰۰۰ جغرافیایی ارتش جمهوری اسلامی ایران صورت گرفته است.

(Instantaneous Field of View) فرآگرد جداسازی در جای تصویر

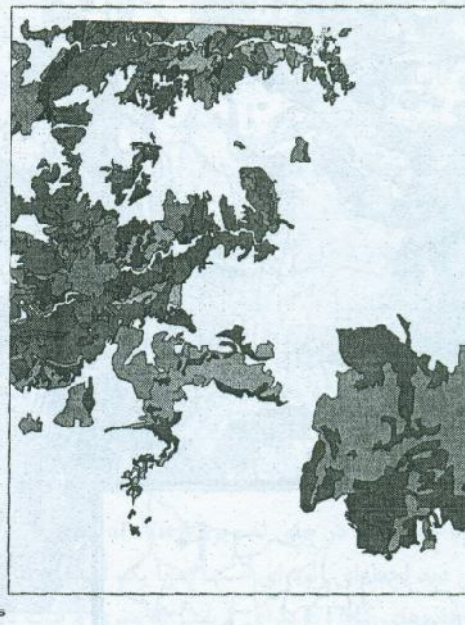
میدان دید لحظه‌ای زاویه‌ای است که با یک آشکارساز، آشکارسازی می‌شود [۳]. با توجه به اینکه داده‌های ETM^+ دارای ۶ باند ۳۰ متری و یک باند ۱۵ متری هستند، برای افزایش تفکیک مکانی باندهای دیگر از باند پان با قدرت تفکیک مکانی ۱۵ متر استفاده شد. در نتیجه ۶ باند چند طیفی با تفکیک مکانی ۳۰ متری به وسیله یک باند با تفکیک مکانی (m) ۱۵ به ۶ باند چند طیفی با تفکیک مکانی (m) ۱۵ (با استفاده از روش PCA) تبدیل شدند (این نتیجه فقط در مطالعاتی که نیازمند به تفکیک مکانی بالاست، مورد استفاده قرار می‌گیرد).

آشکارسازی تصویر برای تفکیک لیتوولوژی و دگرسانیهای منطقه یک ترکیب رنگی از باندهای طیفی جداگانه که به صورت رنگهای آبی، سبز، و سرخ نمایش داده می‌شوند، معمولی‌ترین شکل نمایش داده‌های است. کریپن [۱۰] با استفاده از ضریب همبستگی‌ها پی‌برده که در تصاویر TM، ترکیب باندی ۱-۴-۷-۱۷، اطلاعات بیشینه‌ای را برای تفکیک لیتوولوژی در مناطق خشک نشان می‌دهد، و ترکیب ۵-۷-۱-۱۷، در مناطق حاوی کانیهای دارای یون هیدروکسیل، کارآرایی بهتری دارد. انتخاب ترکیب باند برای مناسب‌ترین ترکیب رنگی کاذب را براساس فاکتور شاخص بهینه که توسط چاوز و دیگران معرفی شد می‌توان انجام داد. فاکتور شاخص بهینه با استفاده از لگاریتم S_K مجموع انحراف معیار برای K باند و r_j قدر مطلق مجموع ضریبهای همبستگی بین هر دو به اندازه ترکیب ۳ باندی است [۳].

$$OIF = S_K / \text{Abs}(r_j)$$

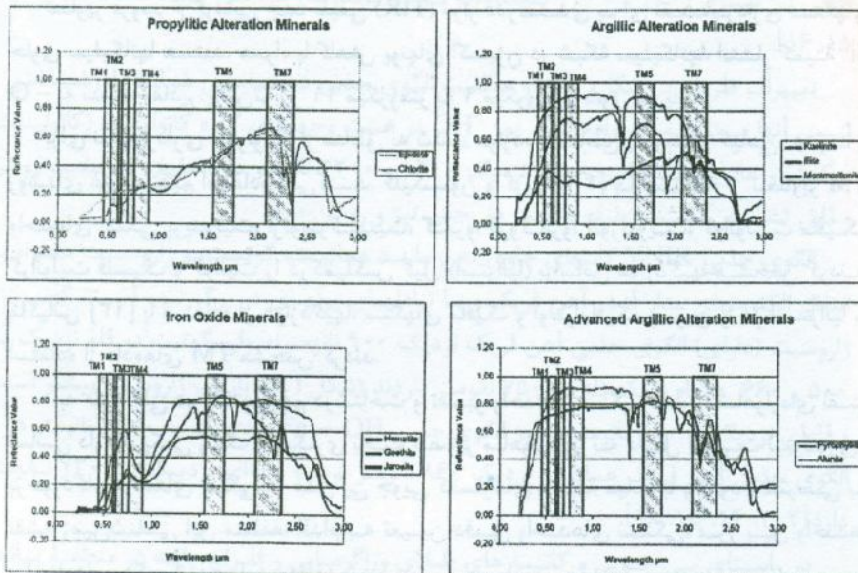


شکل ۱ نقشه زمین‌شناسی منطقه میانه [۹]



شکل ۲ نقشه واحدهای سنگی منطقه میانه که با تصاویر ماهواره‌ای تصحیح شده و از تنهنشستهای دوره‌های بعدی چشم پوشی شده است (مختصات عینا مشابه شکل ۱ است).

در این کار پژوهشی که در این منطقه انجام گرفت، از اندازه نسبی باندها استفاده شد. باندهایی که برای تصاویر نسبی انتخاب شدند به ویژگیهای طیفی مواد سطحی مورد نظر و پوشش‌های سطحی دیگر آنها وابسته بوده‌اند. برای صورت کسر، باندی انتخاب شد که مواد سطحی بازتاب زیادی از آن دارند و در مخرج کسر، باندی را انتخاب کردیم که پوشش جذبی بالایی از مواد داشتند [۱۱، ۳، ۵، ۲، ۱] بنابراین از ترکیب نسبت باندی (۴/۳، ۳/۱ و ۵/۷) استفاده شد. انتخاب باندها و نسبتها باندی مناسب بستر براساس طیفهای کانیها صورت گرفت، به عنوان مثال در شکل (۳) الگوی طیفی کانیهای موجود در سیستمهای دگرسان آرژیلیک در کنار گستره طیفی باندهای تصویر مورد استفاده آورده شده که گویای جذب در گستره باند ۷ و بازتاب در گستره باند ۵ است، ولی به دلیل پهن بودن گستره‌های باندی تصاویر لنdest، تفکیک کانیهای با الگوی طیفی مشابه بسیار مشکل و در مواردی امکان پذیر نبود. علاوه بر موارد بالا، از آنالیز مولفه‌های اصلی (PCA) برای حذف اثر همبستگی باندها و دستیابی به تصویر با تقابل بالا و نیز شناسایی دگرسانیهای گرمایی استفاده شد [۳، ۶].



شکل ۳ طیف بازنابی کانیهای موجود در سیستمهای دگرسان [۷].

نقشه‌برداری لیتولوژیکی یا شناسایی واحدهای سنگی

جدا کردن لیتولوژی در مناطقی با پوشش گیاهی پراکنده، درستی قابل قبولی خواهد داشت. در ادبیات سنجش از دور مثالهای زیادی برای این کار (چه به صورت هوایی و چه به صورت ماهواره‌ای) وجود داردند، که براساس ویژگیهای طیفی واحدهای سنگی صورت می‌گیرد و اغلب به صورت کیفی است [۱۰، ۲، ۳]. باندهای VNIR برای نقشه‌برداری تغییرات در بخش مرئی طیفها جالب بوده و باندهای SWIR و اندامانیهای سنگی حاوی کربناتها و کانیهای دارای یون هیدروکسیل مورد استفاده قرار می‌گیرد. سنجنده‌های ابر طیفی، الگوهای طیفی کربناتها و کانیهای حاوی یون هیدروکسیل را برای جداسازی واحدهای لیتولوژی بهتر تشخیص می‌دهند. برای مثال، باورزو رووان [۱۲] تغییرات کانی‌سازی را در کمپلکس آلکالی رودخانه یخ در بریتیش کلمبیا را با استفاده از روش ناامیختگی طیفی خطی نقشه‌برداری کردند. واحدهای سنگ آهک، دولومیت، ماسه سنگ، لایه‌های رس، مونت موریلوبنیت، و زنولیت، الگوی جذبی مشخصی در VNIR / SWIR در تصاویر ابر طیفی برای جداسازی این واحدها می‌تواند مورد استفاده قرار گیرد [۳].

تصاویر فروسرخ گرمایی چند طیفی (TIR) ابزار قدرتمندی برای نقشه‌برداری سنگهای حاوی سیلیکاتها هستند. همراه با کاهش یونهای اکسیژن در شبکه سیلیکاتها، انتشار کمینه Si O - به سمت مقادیر پائین‌تر (از ۱۱ میکرومتر به ۹ میکرومتر) سوق می‌یابد.

برای نقشه‌برداری لیتولوژی از مناطق به شدت هوازده و مناطق با پوشش گیاهی، عموماً از روش‌های غیرمستقیم استفاده می‌کنند. گلیکسون و گریزی [۴] با استفاده از تصاویر TM، واحدهای سنگی پریدوتیت، ارتپیرکسنیت، گابرو، فروگابرو، آنورتوزیت، گرانولیت مافیک، گرانولیت فلیک و گرانیت را در کمپلکس گیل (استرالیا) براساس هوازدگیها مشخص کردند. مکیاس [۱۳] با استفاده از هوازدگیها، سنگهای مافیک و اولترامافیک زیرین را در استرالیا با استفاده از داده‌های TM مشخص کردند.

به طور کلی دو فاکتور مهم در شناخت و تفسیر واحدهای سنگی تصاویر ماهواره‌ای نقش اساسی دارند یکی رنگ و دیگری بافت تصویر ماهواره‌ای. به دلیل اهمیت لیتولوژی و برخوردگاه واحدهای سنگی در مدل پی جوبی کانسازهای منطقه میانه، با وجود دسترسی به نقشه زمین‌شناسی این منطقه، اقدام به تعیین دقیق واحدهای سنگی، مرز بین واحدها، ساختارها، و دگرسانیهای این منطقه شد.

برای بررسی لیتولوژی در این منطقه از تصاویری با ترکیب رنگی (۵۷و۱)، (۱۱و۳)، (۱۱و۳و۷)، باندگرمایی، نسبت باندی (۴۳ و ۲۱ و ۵۷) و نیز تصاویر تهیه شده از آسالیز مولفه‌های اصلی استفاده شد. و برای کارآیی بهتر تصویر، از یک سری فیلترهای افزایش تقابل و بر جسته‌سازی تصویر نیز استفاده شد. شکل (۲) گویای این نتیجه است. روی این نقشه تمامی واحدهای سنگی با حذف مناطق پوشیده از تهنشستهای عهد حاضر ارائه شده است.

دگرسانیهای گرمایی

هالهای دگرسان شده به صورت ناهنجاریهای رنگی گستردۀ دیده می‌شوند که حاصل واکنش شاره‌های اسیدی با سنگهای دیواره مافیک است. ثبت این هاله‌های دگرسان بر روی تصاویر، احتملاً واضح‌تر از مطالعات صحرایی خواهد بود، زیرا بسیاری از کانیهای دگرسان الگوی جذب طیفی در طول موجه‌ای خارج از گستره بینایی انسان است.

اغلب کانیهای رسی، میکاها، و کانیهای حاوی هیدروکسیل مانند پیروفیلیت و آلونیت که معمولاً در دگرسانیهای فیلیک، آرژیلیک، و آرژیلیک پیشرفتۀ دیده می‌شوند، همراه با الگوهای جذبی AL-OH هستند که OH نزدیک به ۲۰۰ نانومتری یک مدد آشکاری را نشان می‌دهد (شکل (۳)). کربناتها و کانیهای حاوی Mg-OH و Fe-OH مانند اپیدوت، کلریت، بیوتیت، و فلوگوپیت الگوی جذبی نزدیک ۲۳۰۰ نانومتر را دارند، کانیهای یادشده نشانه‌های مجموعه پیروفیلیت و پتاسیک هستند. باند ۷ در تصاویر TM برای ثبت کانیهایی با الگوی

جذبی در گستره ۲۲۰۰ و ۲۳۰۰ نانومتر (به صورت مجموعه) طراحی شده است [۱۴، ۳، ۲]، [۱۶، ۱۵].

تفاوتات ظریف در شکل، عمق و موقعیت الگوی جذبی در شناسایی شرایط بلورشناسی و شیمی آنها می‌تواند مفید واقع شود. یون OH⁻ در هشت وجهیهای گروه کانولینیت (کانولینیت، دیکیت، و هالویسیت) الگوی جذبی نزدیک ۱۴۰۰ و ۲۲۰۰ نانومتر دارد. طیف کانولینیت روش و قابل تشخیص است، و طیف دیکیت دو بخش تیز و روشن دارد.

الگوی جذبی VNIR کانیهای حاوی آهن مانند هماتیت، گوتیت، و ژاروسیت همراه با انتقال الکترونها مدار d در آهن فریک و با تبادلهای یونهای در برگیرنده است. گوتیت و ژاروسیت (دارای) الگوی جذبی آهن فریک نزدیک ۹۰۰ نانومترند ولی گوتیت دو قله نزدیک به ۵۰۰ و ۶۶۰ همراه با یک قله در ۷۵۰ نانومتر داردند (شکل (۳)). بازتاب ژاروسیت بیشتر است و قله‌ای نزدیک به ۷۰۰ نانومتر، و نیز الگوی جذبی Fe - OH را نزدیک به ۲۲۷۰ نانومتر دارد. الگوی جذبی آهن فریک هماتیت، نزدیک ۸۶۰ نانومتر بوده و قله‌ای نزدیک به ۷۳۰ نانومتر دارد [۱۶، ۳، ۲].

در راستای پی جویی و کانسارهای طلای و راگرمایی و فلزات پایه در منطقه میانه، دگرسانیهای پروپلیتیک، آرژیلیک، فیلیک و ۰۰۰ با استفاده از روش نسبتهای باندی و آنالیز مولفه‌های اصلی انجام گرفت. با توجه به نمودارهای طیفی کانیهای موجود در سیستمهای دگرسانی گرمابی، از نسبتهای زیر مورد استفاده قرار گرفتند.

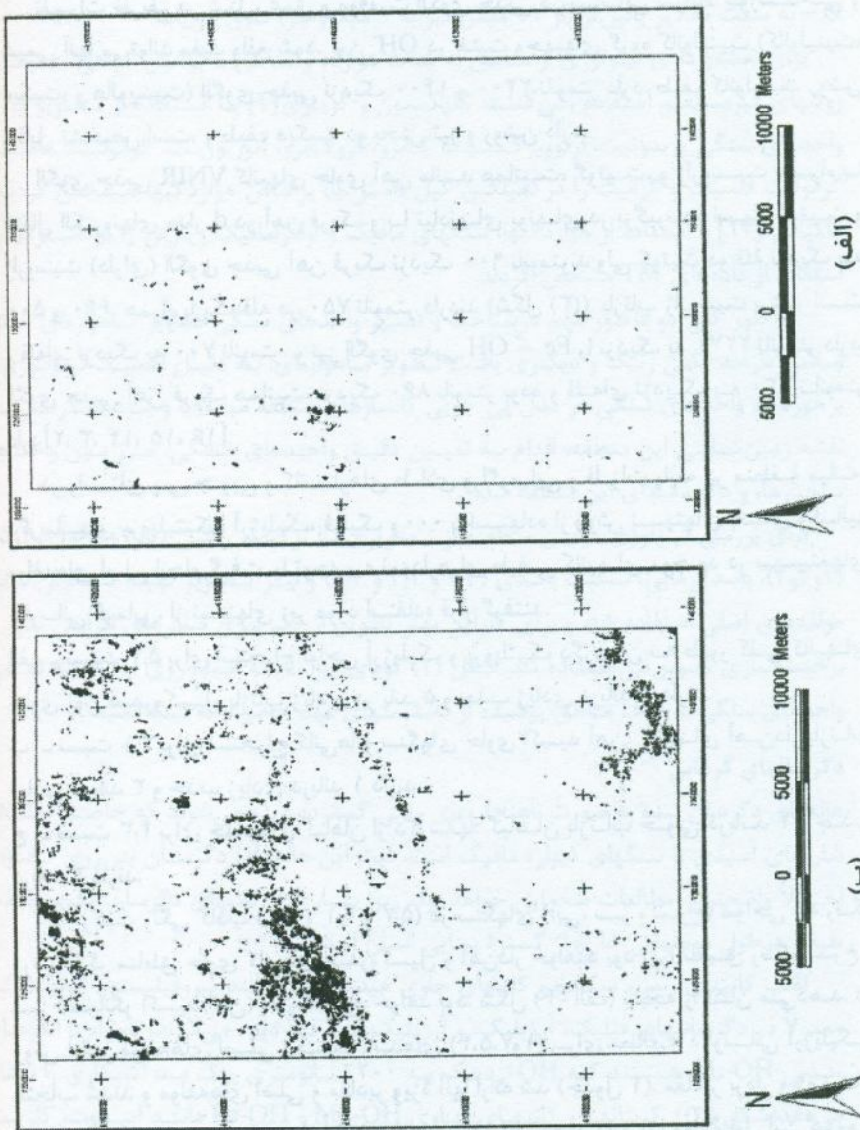
الف - نسبت ۵/۷ برای استخراج نواحی آرژیلیک و پروپلیتیک دگرسان به طور کلی کانیهای حاوی یون هیدروکسیل بازتاب زیادی در باند ۵ و جذب زیادی در باند ۷ دارند.

ب - نسبت ۲/۱ برای استخراج کانی‌ها و سنگهای حاوی اکسید آهن: کانیهای آهن دار بازتاب زیادی در باند ۳ و جذب زیادی در باند ۱ دارند.

ج - نسبت ۴/۳ برای جداسازی گیاهان از دگرسانها: گیاهان بازتاب خوبی در باند ۴ و جذب در باند ۳ دارند.

با ترکیب رنگی کادب (۴/۳، ۳/۱ و ۵/۷) در سنگهای (آبی، سبز، سرخ) نواحی به رنگ زرد نشانگر مناطق حاوی کانیهای هیدروکسیل و آهن دار خواهد بود زیرا تلفیق رنگ سرخ و سبز (نمایانگر اکسید آهن) به رنگ زرد خواهد بود. شکل (۴-الف) نتیجه را نشان می‌دهد. در روش آنالیز مولفه‌های اصلی نخست باندهای (۵/۷، ۵/۴ و ۱) برای مطالعه دگرسانی آرژیلیکی انتخاب شدند و مولفه‌های اصلی و مقادیر ویژه آنها ارائه شد (جدول ۱). مقادیر بردار ویژه نشان می‌دهد که بیشترین تفاضل بین باند ۵ و ۷ در مولفه اول وجود دارد لذا مولفه اول این گروه از باندها انتخاب شد. برای اکسیدهای آهن، باندهای (۵/۷ و ۳/۱) انتخاب و مولفه‌های اصلی و مقادیر ویژه آنها تعیین شدند. (جدول ۱). از روی مقادیر بردار ویژه مشاهده می‌شود که

بیشترین تفاضل بین باند ۱ و ۳ در مولفه چهارم ظاهر شده است و به همین دلیل مولفه چهارم این گروه از باندها انتخاب شد.



شکل ۴ نقشه دگرسانیهای منطقه میانه: (الف) حاصل از روش باندهای نسبی، (ب) حاصل از روش آنالیز مولفه‌های اصلی.

جدول ۱ مقادیر بردار ویژه برای دو مجموعه چهار باندی بر اساس ماتریس وردایی - ناوردادی
(الف-باندهای ۱ و ۴ و ۵ و ۷)

باند	مولفه ۱	مولفه ۲	مولفه ۳	مولفه ۴
۱	-۰,۲۴۲۴	-۰,۳۱۶۹	-۰,۷۱۲۳	-۰,۵۷۷۴
۴	-۰,۲۸۶۵	-۰,۸۰۶۷	-۰,۱۴۱۵	-۰,۴۹۷۱
۵	-۰,۸۹۴۶	-۰,۲۸۳۶	-۰,۳۱۲۴	-۰,۱۴۴۶
۷	-۰,۲۴۲۴	-۰,۴۱۰۳	-۰,۶۱۱۸	-۰,۶۳۱۳۴

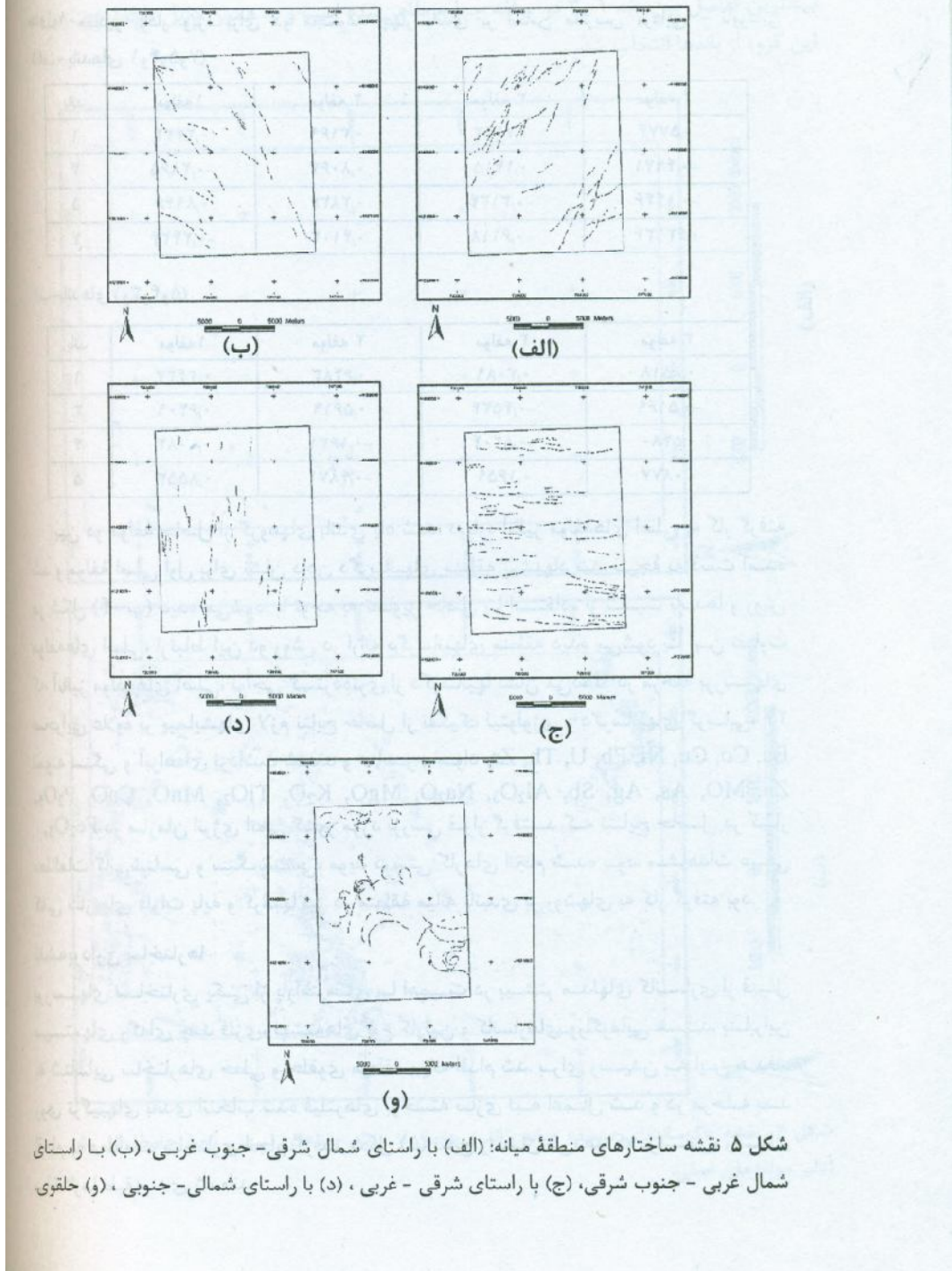
(ب-باندهای ۱ و ۳ و ۵ و ۷)

باند	مولفه ۱	مولفه ۲	مولفه ۳	مولفه ۴
۱	-۰,۲۴۲۷	-۰,۶۴۸۳	-۰,۳۰۸۹	-۰,۶۵۱۸
۳	-۰,۶۴۰۹	-۰,۵۶۱۹	-۰,۴۵۲۴	-۰,۵۱۶۹
۴	-۰,۸۰۸۲	-۰,۱۶۳۱	-۰,۸۲۰۴	-۰,۵۴۸۰
۵	-۰,۸۵۵۳	-۰,۴۸۷۱	-۰,۱۶۵۹	-۰,۰۸۷۷

بین دو مولفه حاصل از گروههای باندی یاد شده، دوباره آنالیز مولفه‌های اصلی به کار گرفته شد و مولفه اصلی اول برای نشان دادن دگرسانیهای منطقه پیشنهاد شد. نتیجه به دست آمده در شکل (۴-ب) دیده می‌شود. با توجه به تصاویر حاصل با استفاده از نسبت باندها و روش مولفه‌های اصلی، ارتباط این دو روش در ارائه دگرسانیهای منطقه دیده می‌شود با این تفاوت که آنالیز مولفه‌های اصلی، نواحی گسترده‌تری از دگرسانیها نشان می‌دهد. در مرحله بررسیهای صحرایی علاوه بر پیمایش‌های لازم نتایج حاصل از تکیک لیتولوژی و دگرسانیهای گرمایی، ۲۷ نمونه سنگی و آبراههای برداشت شدن و عنصر و مواد Zn, MO, As, Ag, Sb, Al₂O₃, Na₂O, MgO, K₂O, TiO₂, MnO, CaO, P₂O₅, Ba, Co, Cu, Ni, Pb, U, Th, Zr, در سازمان انرژی اتمی کشور مورده بررسی قرار گرفتند که نتایج حاصل در کنار مطالعات کانی‌شناسی و سنگ‌شناسی، مovid درستی کارهای انجام شده بود. مشاهدات عینی کانی سازنیهای فلزات پایه و گرانبها نیز در منطقه میانه تأییدی بر روشهای به کار گرفته بود.

نقشه‌برداری ساختارها

بررسیهای ساختاری یکی از پارامترهای با اهمیت در بیشتر مدل‌های کانساری از قبیل سیستمهای رگه‌ای چند فلزی، نهشته‌های نوع کارلین و کانسارهای وراگرمایی هستند. بنابراین به شناسایی ساختارهای خطی و حلقوی منطقه میانه اقدام شد. برای رسیدن به این هدف، روی ترکیبهای باندی انتخاب شده فیلترهای بر جسته سازی لبه اعمال شد و در مرحله بعد اقدام به مطالعات ساختاری انجام گرفت. شکل (۵) نتایج را نشان می‌دهد که براساس، راستای ساختارها طبقه‌بندی شده‌اند.



شکل ۵ نقشه ساختارهای منطقه میانه: (الف) با راستای شمال شرقی- جنوب غربی، (ب) با راستای شمال غربی - جنوب شرقی، (ج) با راستای شرقی - غربی ، (د) با راستای شمالی- جنوبی ، (و) حلقوی

نتیجه‌گیری

کاربرد روش‌های مختلف پردازش همراه با استفاده از الگوی طیفی کانیهای موجود در سامانه‌های دگرسان و واحدهای مختلف لیتوژئیکی، نتایج خوب و جالبی در ارائه و رسم نقشه دگرسانی و واحدهای سنگی منطقه به همراه داشت. جداسازی واحدها از نظر سنگ‌شناسی، بیشتر کیفی و براساس رنگ و بافت واحدها که ریشه در کانیهای موجود در واحدهای مختلف دارند انجام گرفت.

نقشه واحدهای لیتوژئیکی، ساختارها و دگرسانیهای ثبت شده در منطقه، براساس تصاویر ماهواره‌ای ETM⁺، نشانگر مناطق مستعد کانی‌زایی در غرب منطقه با خطوط‌هایی در روند شمال‌شرقی - جنوب غربی است. تراکم ساختارها (شکل ۵) وجود زون‌های دگرسان گسترده، نشان‌دهنده عملکرد سیستمهای گرمایی به همراه کانی‌زایی فلزات پایه و گرانبهاست. نتایج حاصل از بررسیهای تصاویر ماهواره‌ای با توجه به هزینه پایین و زمان کم صرف شده برای دستیابی به این نتایج که وارسیهای صحرایی نیز تایید کننده درستی کار بود، نشانگر توانایی و استعداد کاربرد علم دورسنجی برای ارائه نقشه‌های زمین‌شناسی و پی‌جوبی مواد معدنی است.

مراجع

- [1] محمدزاده ج، فلاحت، "تحلیل و تلفیق داده‌های زئوفیزیک هوایی و انطباق آن با تصاویر ماهواره‌ای جهت ثبت دگرسانیهای منطقه میانه - آذربایجان شرقی"، فصلنامه علمی پژوهشی علوم زمین شماره ۵۸، ۱۰۸(۱۳۸۴) ص ۱۱۳-۱۰۸.
- [2] Yektin Erden, "Alteration Mapping by Remote Sensing: Application to Hasandag-Melendiz Volcanic Complex", Middle East Technical University, Turkey, (2003)45.
- [3] Rencz Andrew N., "Remote Sensing for the Earth Science: Manual of Remote Sensing", vol 3, John Wiley & Sons, Inc, (1999) 375-428
- [4] Glikson, A.Y., J.W. Creasy, "Application of Landsat-5 TM Imagery to Mapping of the Giles Complex and Associated Granulites, Tomkinson Ranges Western Musgaves Block", Central Australia, AGSO J. Aust. Geol. Geophy., 16, (1995) 173-193.
- [5] Anne J.B., Thompson Phoebe L. Hauff, Audrey J. Robotille, "Alteration Mapping in Mineral Exploration: Application of Shortwave Infrared (SWIR) Spectroscopy", SEG, (1999) 16-27
- [6] Crosta A.P., Rabelo A., "Assessing Landsat TM for Hydrothermal Alteration Mapping in Central Western, Brazil", Proceeding of the 9th Thematic Conference of geologic Remote Sensing, (1993) 1053-1061

- [۷] فلاحت رضا، "روشهای نوین اکتشافات در مطالعه توانمندی و امکان کانی‌سازی عناصر پرتوزا و فلزات در محدوده غرب میانه"، پایان‌نامه کارشناسی ارشد، دانشگاه صنعتی سهند تبریز، ۱۳۸۲.
- [۸] سازمان زمین‌شناسی کشور، نقشه زمین‌شناسی ۱:۲۵۰۰۰۰، منطقه میانه.
- [۹] سازمان زمین‌شناسی کشور، نقشه زمین‌شناسی ۱:۱۰۰۰۰۰، منطقه میانه.
- [10] Crippen R.E., "Selection of Landsat TM and Band Ratio Combination to Maximize Lithologic Information in Color Composite Display", in Proceeding of the 7th Thematic Conference on Remote Sensing for Exploration Geology, (1989) 917-921.
- [۱۱] احمدی ع، محمدزاده ج، فلاحت ر، "حذف اثر پوشش گیاهی در تعیین آتراسیونهای منطقه ورزقان (آذربایجان‌شرقی) با استفاده از تصاویر TM، اولین کنفرانس مهندسی معدن ایران ص ۱۳۸۳-۳۲-۲۷.
- [12] Bowers T. L., L.C. Rowan, "Remote Mineralogic and Lithologic Mapping of the Ice River Alkaline Complex, British Columbia", Canada, Using AVIRIS Data, Photogramm. Eng. Remote Sensing, , (1996) 62, 1379-1385.
- [13] Macias L.F., "Remote Sensing of Mafic-Ultramafic Rocks: Examples from Australian Precamberian Terranes", AGSO J.Aust. Geol. Geoph., (1995) 16, 163-171,
- [14] Unal Altinbas, and et Al, Using Advanced Spectral Analysis Techniques as Possible Means of Identifying Clay Minerals, AHEI-Nahry Conference, (2004)
- [15] ERDAS Spectral Library
- [16] Collins A.H., "Thermal Infrared Spectra of Altered Volcanic Rocks in the Virginia Range, Nevada", Proceeding of the 7th Thematic Conference on Remote Sensing for Exploration Geologists, Calgary Alberta, Canada, (1989) 210-219.
- [17] Ranjbar H., Honarmand M., Moezifar Z., Roonwal G.S., "Application of Crosta technique for porphyry copper alteration mapping", Using ETMT data, A Case study of Meiduk and Sar Cheshmeh areas , Kerman , Iran, <http://www.gisdevelopment.net> , (2003)
- [۱۸] معروفی خ، محمدزاده م، ج فلاحت ر، "بررسی آتراسیون و انطباق آن با ساختارهای خطی و حلقی در منطقه آلوت با استفاده از تصویر ماهواره‌ای TM ، اولین کنفرانس مهندسی معدن ایران ص ۱۳۸۳-۳۰۰-۳۰۷.
- [۱۹] حسنی پاک علی اصغر، شرف‌الدین محمد، "تحلیل داده‌های اکتشافی، انتشارات دانشگاه تهران، ۱۳۸۰.